

Methoden für lineare DGL

1. $x_{\text{all inhom}} = x_{\text{spez inhom}} + x_{\text{all hom}}$
2. Auffinden $x_{\text{spez inhom}}$: Variation der Konstanten
3. Auffinden von $x_{\text{all hom}}$: reicht Fundamentalsystem
 - a) konst. Koeff. $n=1$: Exponential-Ansatz
 $e^{\lambda t}, t e^{\lambda t}, t^2 e^{\lambda t}$
 - b) konst. Koeff. Ordg 1: Matrix-Exponential $\int_0^t A(s) ds$
 - c) Ordg 1, kommutierende Koeff. $A(t)$: $\Phi(t) = e^{\int_0^t A(s) ds}$
 - d) Ordg 1: Dyson-Reihe $\Phi(t) = E + \sum_{k=1}^{\infty} \int_0^t dt_1 \int_0^{t_1} dt_2 \dots \int_0^{t_{k-1}} dt_k A(t_1) A(t_2) \dots A(t_k)$

Beispiele für lineare DGL

PDE

- Schrödinger - Gl.
- D'Alembert - Gl. = Wellengl. $\frac{\partial^2 f}{\partial t^2} = \frac{\partial^2 f}{\partial x^2}$
- Maxwell - Gl. (Elektromagnetismus)
- Wärmeleitungsgl. = Diffusions - Gl. $\frac{\partial f}{\partial t} = c \frac{\partial^2 f}{\partial x^2}$

ODEs

- Schwingungen (kleiner Amplitude)
- elektrische Schaltkreise

Nichtlineare PDEs:

- Korteweg - de Vries - Gl. (Wasserwellen bei geringer Tiefe)
- Einstein - Gl. (Gravitationsfeld in der allg. Rel. Th.)
- Navier - Stokes - Gl. en (Strömung von Gasen oder Flüssigkeiten)

Methoden für nichtlineare ODEs

1. Separation der Variablen für $n=1$, Ordg 1

$$f(t, x) = a(t) b(x)$$

Bsp $\frac{dx}{dt} = t x^2, \quad x(0) = x_0 \neq 0.$

Lsg $\int_{x(0)}^{x(t)} \frac{dx}{x^2} = \int_0^T dt \, t = \frac{T^2}{2} \quad \Rightarrow \quad x(T) = \frac{1}{C - T^2/2}$

$C = \frac{1}{x(0)}$ auf $I = (-\sqrt{2}, \sqrt{2})$

$$-\frac{1}{x(T)} + \frac{1}{x(0)}$$

$$x_0 = 0: x(T) = 0 \quad \forall T$$

2. Potenzreihenansatz

Bsp $\frac{dx}{dt} = t^2 x \quad (*)$

$$x(t) = \sum_{k=0}^{\infty} c_k t^k$$

$$\frac{dx}{dt} = \sum_{k=1}^{\infty} c_k k t^{k-1}$$

$$(*) \Rightarrow \sum_{m=2}^{\infty} c_{m+1} (m+1) t^m = \sum_{m=2}^{\infty} c_k t^m$$

$m=k-1$ $m=k+2$ $k=0$ $m=2$

Koeff. Vergl.

c_0 bel.

$$c_1 = 0$$

$$2c_2 = 0$$

$$c_{m+1} = \frac{c_{m-2}}{m+1} \quad \text{für } m \geq 2$$

$$\Rightarrow c_3 = \frac{c_0}{3}, \quad c_4 = 0, \quad c_5 = 0$$

$$c_6 = \frac{c_3}{6} = \frac{c_0}{3 \cdot 6}, \quad c_7 = 0, \quad c_8 = 0$$

$$c_9 = \frac{c_6}{9} = \frac{c_0}{3 \cdot 6 \cdot 9}, \quad c_{10} = 0, \quad c_{11} = 0$$

$$\Rightarrow x(t) = \sum_{l=0}^{\infty} c_{3l} t^{3l} = \sum_{l=0}^{\infty} \frac{c_0}{3 \cdot 6 \cdot 9 \cdots (3l)} t^{3l}$$

$$= \sum_{l=0}^{\infty} \frac{1}{l! 3^l} (t^3)^l = r_0 e^{t^3/3}$$

3. Berechnung unparametrisierter Trajektorien

a) durch Erhaltungsgrößen

Bsp $E(x(t), y(t)) = \text{const.} = E_0$

implizite Fkt $E(x, g(x)) = E_0$

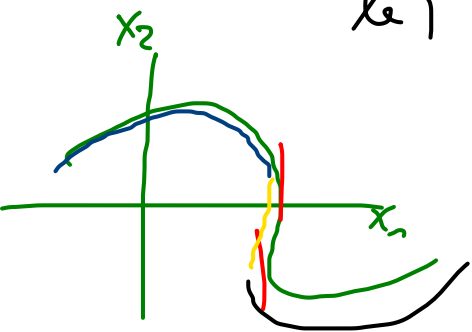
$\Rightarrow y(t) = g(x(t))$ (s. Vorl. beim ebenen Pendel)

b) wenn $\frac{dx_1}{dt} = v_1(x_1, x_2)$

$\frac{dx_2}{dt} = v_2(x_1, x_2)$, dann $\frac{dx_1}{dx_2} = \frac{v_1(x_1, x_2)}{v_2(x_1, x_2)}$,

was sich evtl. lösen lässt, $\rightsquigarrow x_1(x_2)$

c) manchmal auch wünschenswert, wenn $x(t)$ bekannt (s. Vorl. bei e^{At})



Variation der Konstanten

geg. Propagator Φ (Flussabb. der hom. lin. DGL)

geg. Lsg der inhom. DGL, $\underline{b}(t)$ zeitabh.

Bsp $\frac{dx}{dt} = x + 1$, $b(t) = 1$, $n=1$, $A(t) = 1$

hom. DGL $\dot{y} = y$

Lsg $y(t) = y_0 e^t$ ($t_0 = 0$)

Propagator $\Phi(t) = e^t$

Var. der Konst.: Ansatz $x(t) = \Phi(t) c(t)$

in DGL $\Rightarrow \dot{x} = \underbrace{\dot{\Phi}}_{A(t)\Phi(t)} c(t) + \underbrace{\Phi}_{\Phi^{-1}(t)} \dot{c} = A(t)x(t) + \Phi(t) \dot{c}(t)$

$\Leftrightarrow \cancel{\Phi(t)} \dot{c}(t) = b(t) \Rightarrow c(t) = c(0) + \int_0^t \underbrace{\Phi^{-1}(s)}_{1/s} b(s) ds$

$$\begin{aligned} \text{Hier } c(t) &= c(0) + \int_0^t e^{-s} 1 ds \\ &= c(0) - e^{-t} + 1 \end{aligned}$$

$$\Rightarrow x(t) = \Phi(t) c(t) = e^t c(0) - 1 + e^t$$

$$x_0 = x(0) = c(0) - 1 + 1 = c(0)$$

$$\Rightarrow x(t) = e^t x_0 - 1 + e^t.$$

$$\left(\text{Probe: } \dot{x} = e^t x_0 + e^t = x + 1. \right)$$

Matrix-Exponential: Praktische Berechnung

1) durch Diagonalisierung von $A \in M_n(\mathbb{K})$

Falls A symmetrisch ($A = A^T$) ^{Spektralsatz} \Rightarrow reell diagonalisierbar durch ONB.
(Basisvektoren = EVecn)

Falls A Hermitesch ($A = \bar{A}^T$), orthogonal ($AA^T = E$),
unitär ($A \bar{A}^T = E$) \Rightarrow komplex diagonalisierbar durch ONB.

Falls A n versch. reelle EWe hat \Rightarrow reell diagonalisierbar.

Falls A n versch. komplexe EWe hat \Rightarrow komplex diagonalisierbar.

Falls A diagonalisierbar, $A = SDS^{-1}$

$D = \text{diag}(d_1, \dots, d_n)$

$e^{At} = S e^{Dt} S^{-1}$ ~~Spalten~~ Spalten von S = EVecn von A , und

Bsp $\ddot{x} = -x$ (harm. Osz. mit $\omega = 1$)

Red. auf 1. Ordg: $\underline{v} = \dot{x}$
 A (orthogonal)

$$\frac{d}{dt} \begin{pmatrix} x \\ v \end{pmatrix} = \begin{pmatrix} 0 & 1 \\ -1 & 0 \end{pmatrix} \begin{pmatrix} x \\ v \end{pmatrix}$$

$$P_A(\lambda) = \det \begin{pmatrix} -\lambda & 1 \\ -1 & -\lambda \end{pmatrix} = \lambda^2 + 1 = (\lambda - i)(\lambda + i) \Rightarrow \text{EWe} = \pm i.$$

~~$A = SDS^{-1}$~~

Eigen ~~vektoren~~: $A \underline{v} = \lambda \underline{v}, \quad \frac{1}{\sqrt{2}} \begin{pmatrix} 1 \\ i \end{pmatrix}, \quad \frac{1}{\sqrt{2}} \begin{pmatrix} 1 \\ -i \end{pmatrix}$

$$A = SDS^{-1} = \underbrace{\frac{1}{\sqrt{2}} \begin{pmatrix} 1 & 1 \\ i & -i \end{pmatrix}}_{S \text{ (unitar)}} \begin{pmatrix} i & \\ & -i \end{pmatrix} \underbrace{\frac{1}{\sqrt{2}} \begin{pmatrix} 1-i \\ 1+i \end{pmatrix}}_{S^{-1} = \bar{S}^T}$$

$$e^{At} = S e^{Dt} S^{-1} = S \begin{pmatrix} e^{it} & \\ & e^{-it} \end{pmatrix} \bar{S}^T = \begin{pmatrix} \cos t & \sin t \\ -\sin t & \cos t \end{pmatrix}$$

also $x(t) = x(0) \cos t + v(0) \sin t.$

2) A nicht diagonalisierbar:

durch Jordansche Normalform (Montag)

$$\left(\begin{array}{c|c|c} \begin{array}{c} \lambda_1 \ 1 \\ \vdots \\ \lambda_1 \end{array} & 0 & 0 \\ \hline 0 & \begin{array}{c} \lambda_2 \ 1 \\ \vdots \\ \lambda_2 \end{array} & 0 \\ \hline 0 & 0 & \begin{array}{c} \lambda_3 \ 1 \\ \vdots \\ \lambda_3 \end{array} \end{array} \right)$$

tritt ein, wenn P_A mehrfache NST hat
(alg. Vielfachheit) und

geom. Vielfachheit $<$ alg. Vielfachheit.
 $\dim ER \uparrow$